

# SSC 0903 - Computação de Alto Desempenho (2023/2)

Grupo 3

Pedro Henrique Conrado F. de Oliveira Eduardo

11819091

Figueiredo Freire Andrade

11232820

Milena Correa da Silva

11795401

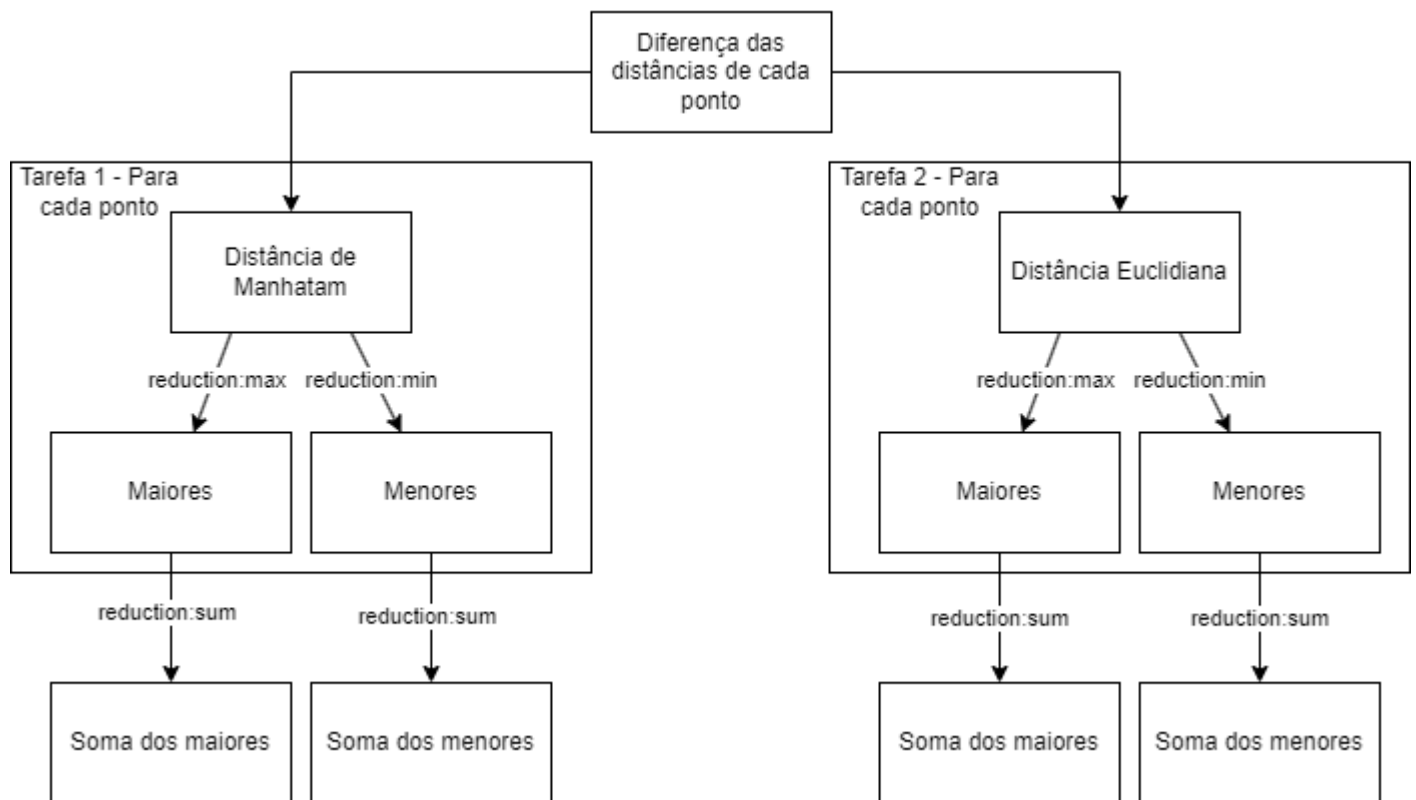
Olavo Morais Borges Pereira

11297792

## PCAM

### Particionamento

O método de particionamento escolhido foi inicialmente um **particionamento de dados com certo grau de paralelismo de tarefas**, já que a especificação menciona diferentes cálculos a serem feitos.



A definição das duas tarefas de cálculo das distâncias são iguais e seguem o seguinte formato:

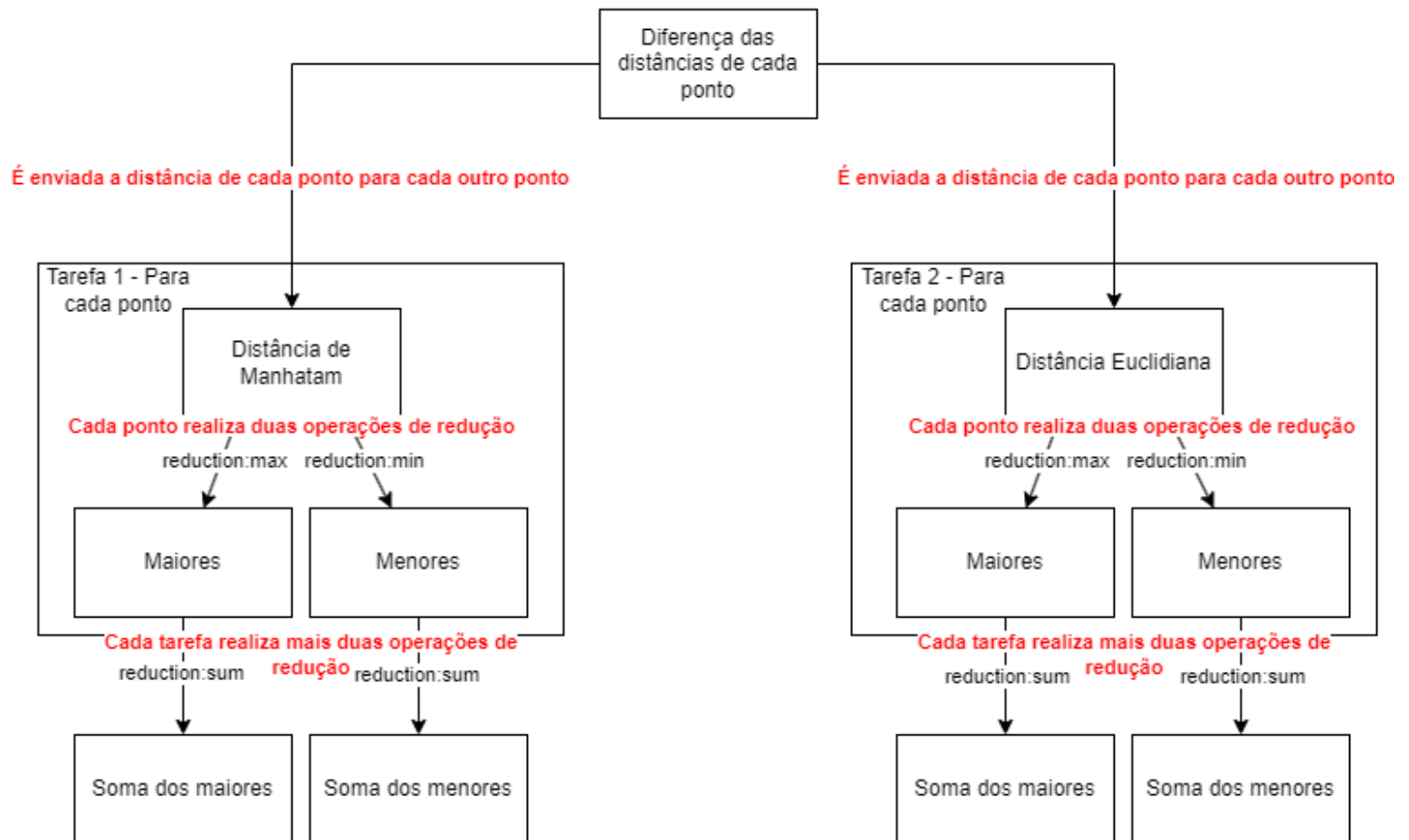
1. Calcular a diferença de cada coordenada entre todos os outros pontos da matriz ( $3(N - 1)^2$  tasks)

2. Somar a diferença de cada coordenada calculada acima de acordo com as especificações do método (Manhattan e Euclidiana), encontrando então a distância de cada ponto para os demais ( $(N - 1)^2$  tasks).
  3. Encontrar a menor e maior distância de cada ponto e armazená-las para cálculo futuro ( $(N - 1)^2$  tasks)
- Com isso finalizados, basta:
1. Somar todos os valores do vetor das maiores distância ( $N^2$  tasks)
  2. Somar todos os valores do vetor das menores distância ( $N^2$  tasks)

Vale ressaltar que, como a primeira parte das tarefas é igual para os dois métodos, só iremos replicar a partir do 2 ponto, ou seja, no final teremos  $N^2 * (3(N - 1)^2 + 2(N - 1)^2 + 4(N - 1)^2) + 2N^2 + 2N^2$  tasks

## Comunicação

Como podemos ver pelo diagrama mostrado anteriormente, tirando as duas primeiras comunicações de ordem  $(N - 1)^2$ , teremos mais quatro comunicações para cada ponto ordem  $\log((N - 1)^2)$  já que estará sendo realizada reduções para cada ponto e outras quatro de ordem  $\log(N^2)$  para as operações de redução por soma. Isso totaliza um custo de comunicação de  $N^2 * 2(N - 1)^2 + N^2 * 4\log(N) + 4\log(N)$



## Aglomeraco

Dentro da estrutura do nosso sistema (MIMD com memria distribuda, em que cada no  MIMD com memria compartilhada), a criao de uma nica tarefa para calcular as distncias para um ponto isolado revela-se invivel. Dessa forma, decidimos distribuir a carga de trabalho de maneira equitativa, atribuindo a cada no a responsabilidade por um subconjunto de pontos. Para ilustrar, consideremos, sem perda de generalidade, que  $np=4$  (nmero de ns). Assim, cada mquina assume a tarefa de calcular as distncias para um quarto dos pontos, efetuando a soma das menores e maiores distncias. Alm disso, cada mquina identifica as distncias mnimas e mximas dentro desse quarto de pontos.

Ao trmino dessa etapa, os valores calculados so enviados para a Mquina 0. Nesse ponto, a Mquina 0 realiza a consolidao dos somatrios, seleciona a menor das menores distncias e a maior das maiores distncias, proporcionando uma concluso eficiente do processo distribudo.

Dentro de cada no, usamos a criao de threads para permitir o clculo da distncia entre mltiplos pares de pontos de forma paralela.

## Mapeamento

Como dito anteriormente, optamos por distribuir os pontos entre os ns do cluster. Dentro de cada no, implementamos o uso de threads para realizar, de forma paralela, o clculo da distncia entre diversos pares de pontos. Com o intuito de manter um equilbrio na carga de trabalho, os pontos foram distribudos de forma alternada entre as mquinas em um estilo *round-robin*. Dessa maneira, evitamos que uma mquina seja responsvel apenas pelos pontos que exigem mais esforo (os localizados no incio da matriz) ou apenas pelos mais simples (os pontos no final da matriz).

Alm disso, em cada no, implementamos um balanceamento dinmico entre as threads. Isso foi feito para assegurar uma distribuo uniforme das iteraes do loop 'for' e equilibrar o esforo entre as threads. Dessa forma, focamos em otimizar o desempenho e garantir uma execuo eficiente.

Por fim, durante a execuo, executamos o cdigo com a flag *-bind-to* configurada como 'socket'. Dessa forma, os processos MPI so vinculados a um processador, ao contrrio da configurao padro, que associa o processo a um ncleo especfico do processador. Essa abordagem permite que o processo seja escalonado de forma mais frequente, uma vez que no est restrito a um nico ncleo, e ainda assim evita o custo elevado de trocar para outro processador. Ao adotar essa prtica, alcanamos um desempenho maior com o uso de OMP e a criao de threads em cada no do cluster.

## Comparação dos Resultados

Para avaliar o desempenho do algoritmo paralelo, realizamos a medição do tempo de execução do algoritmo sequencial para diversos valores de N. Em todas as iterações, o valor da seed foi fixado em 42 para garantir consistência. Vale a pena destacar que o tempo apresentado é resultado da média obtida a partir de três execuções com os mesmos parâmetros e que os resultados podem variar dependendo do uso do cluster.

Tempo Sequencial	
N	Tempo (s)
50	0.261
100	4.003
200	63.936

Para fins de cálculo do Speedup relativo, também calculamos o tempo de execução quando rodamos o algoritmo paralelo em um nó com uma thread

Tempo Paralelo NP=1, T=1	
N	Tempo (s)
50	0.376
100	4.206
200	66.896

As métricas usadas para medir o desempenho do algoritmo paralelo foram:

- Speedup Absoluto
  - $S_p = \frac{\text{Tempo sequencial}}{\text{Tempo paralelo } p}$
- Speedup Relativo
  - $S_p = \frac{\text{Tempo paralelo 1}}{\text{Tempo paralelo } p}$
- Eficiência
  - $E_p = \frac{\text{Speedup Absoluto}_p}{p}$ , com  $p = NP \cdot T$

Abaixo seguem as tabelas com o tempo de execução para diferentes valores de N, NP e T:

Tempo Paralelo NP=1, T=2				
N	Tempo (s)	Speedup Abs	SpeedUp Relativo	Eficiência
50	0.241	1.083	1.560	54.15%
100	2.175	1.840	1.934	92.00%
200	32.953	1.940	2.030	97.00%

Tempo Paralelo NP=1, T=4				
N	Tempo (s)	Speedup Absoluto	Speedup Relativo	Eficiência
50	0.183	1.426	2.055	35.65%
100	1.212	3.303	3.470	82.57%
200	17.331	3.689	3.860	92.22%

Tempo Paralelo NP=2, T=1				
N	Tempo (s)	Speedup Absoluto	Speedup Relativo	Eficiência
50	0.237	1.101	1.586	55.05%
100	2.176	1.840	1.933	92.00%
200	33.091	1.932	2.022	96.60%

Tempo Paralelo NP=2, T=2				
N	Tempo (s)	Speedup Absoluto	Speedup Relativo	Eficiência
50	0,186	1.403	2.022	35.07%
100	1.198	3.341	3.511	83.52%
200	17.328	3.690	3.861	92.25%

Tempo Paralelo NP=2, T=4				
N	Tempo (s)	Speedup Absoluto	Speedup Relativo	Eficiência
50	0.157	1.662	2.395	20.77%
100	0,948	4.223	4.437	52.78%
200	14.100	4.534	4.744	56.67%

Tempo Paralelo NP=4, T=1				
N	Tempo (s)	Speedup Absoluto	Speedup Relativo	Eficiência
50	0,194	1.345	1.938	33.62%
100	1.300	3.079	3.235	76.97%
200	17.317	3.692	3.863	92.30%

Tempo Paralelo NP=4, T=2				
N	Tempo (s)	Speedup Absoluto	Speedup Relativo	Eficiência
50	0.172	1.517	2.186	18.96%
100	0.953	4.200	4.413	52.5%
200	13.527	4.723	4.945	59.03%

Tempo Paralelo NP=4, T=4				
N	Tempo (s)	Speedup Absoluto	Speedup Relativo	Eficiência
50	0.168	1.554	2.238	9.71%
100	0.970	4.127	4.336	25.79%
200	13.506	4.734	4.953	29.59%

## Comentários Finais

Fica claro que a utilização de MPI e OMP possibilita o desenvolvimento de algoritmos mais rápidos, especialmente dependendo do tamanho de N. Embora existam outras abordagens que poderiam reduzir a comunicação entre as máquinas ou equilibrar a carga de trabalho de maneira diferente para aproveitar possíveis disparidades de desempenho entre os sistemas, por exemplo. Acreditamos que este trabalho tenha atingido seu propósito; tivemos a oportunidade não apenas de aplicar os conceitos aprendidos em sala de aula, mas também de explorar a documentação do Open MPI, aprimorando nossa compreensão sobre o funcionamento dessas bibliotecas.